森林モデル - 成長量と枯死量の調整 -

tree100 (1)純生産量 (1)純生産量 純生産量 (2)純生産量の各器官への配分率 (2) 各器官への分配車(薬、細根、細枝、幹、根) FCFRAC(1,2) 葉への割り当て比車 FCFRAC(2,2) 細根への割り当て比車 FCFRAC(3,2) 細枝への割り当て比車 FCFRAC(4,2) 幹・技への割り当て比車 FCFRAC(5,2) 根への割り当て比車 (3)各器官の枯死率 各器官とは: {葉、細根、細枝、幹、根} (3)各器會の枯死車(葉、細模、細枝、幹、模) LEAFDR(1*12) 葉の枯死車 WOODDR(2) 細模の枯死車 WOODDR(3) 細枝の枯死車 WOODDR(4) 幹・枝の枯死車 WOODDR(5) 模の枯死車 各器官の成長量と枯死量が適切な値の範囲に入るように(1)(2)(3)を調整し続ける(*現在) 各器官の枯死量 2.5 林齢段階ごとの純生産を調節するための係数 PFAC(1) 0-5年 PFAC(2) 6-10年 PFAC(3) 11-20年 PFAC(4) 21-30年 PFAC(5) 31-40年 PFAC(6) 41-50年 2.0 1.0 0.0 100 林齢 y

x 森林面積

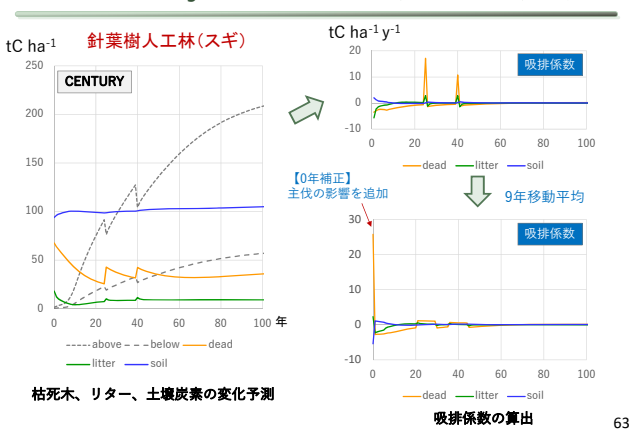
図は「森林資源の現況 2017」



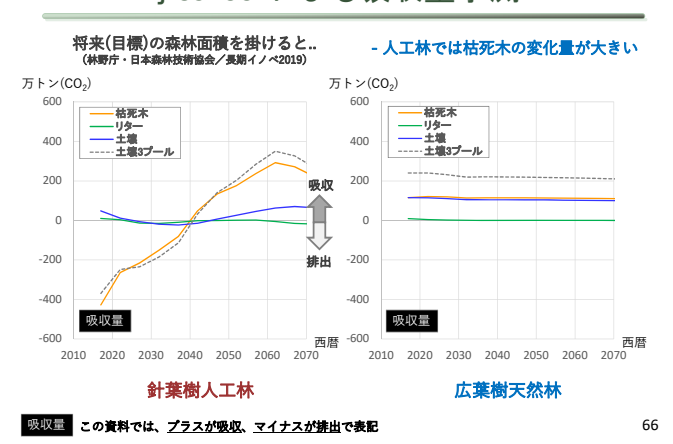
実際は、「国家森林資源データベースの<u>樹種別・林齢別面積</u>」により算出されている (林野庁側で作業)

2017年は 枯死木 <u>1,665 kt-CO</u>2の排出 土壌 <u>70 kt-CO</u>2の吸収

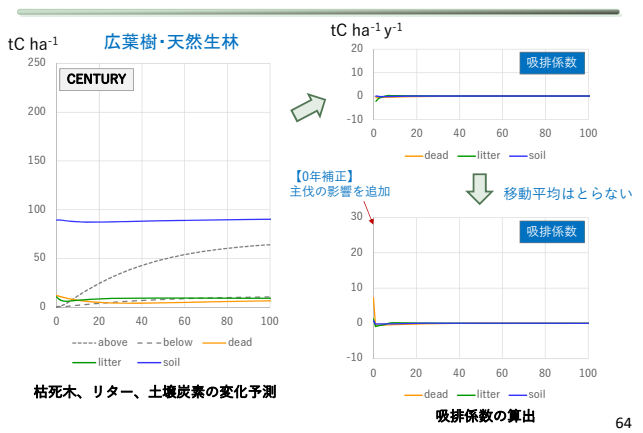
CENTURY-jfos2007のしくみ 変化量 → 吸排係数



jfos2007による吸収量予測



CENTURY-jfos2007のしくみ 変化量→吸排係数

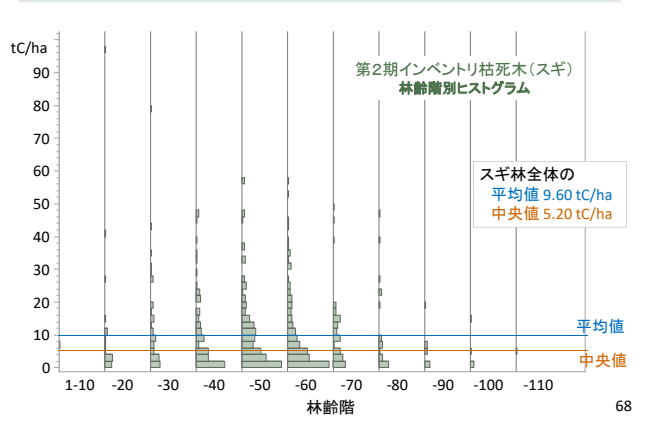


ifos2007による吸収量予測

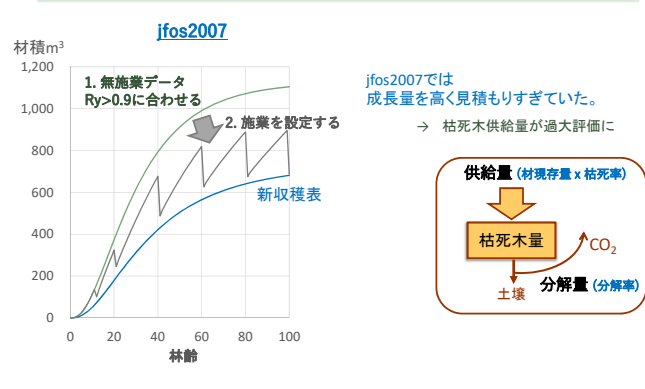


2. 人工林の材枯死率の見直しについて

インベントリデータとの比較



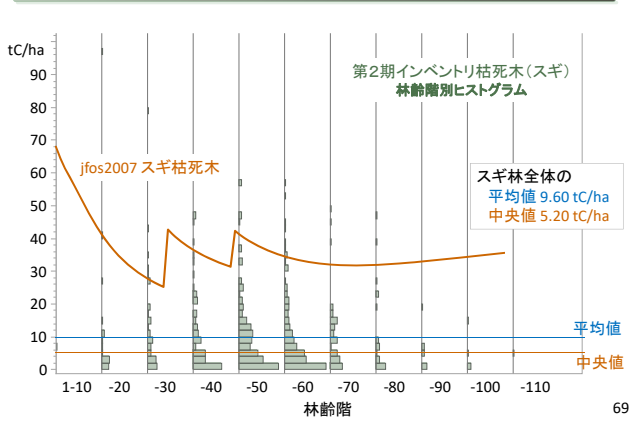
jfos2007: 成長量の調整方法



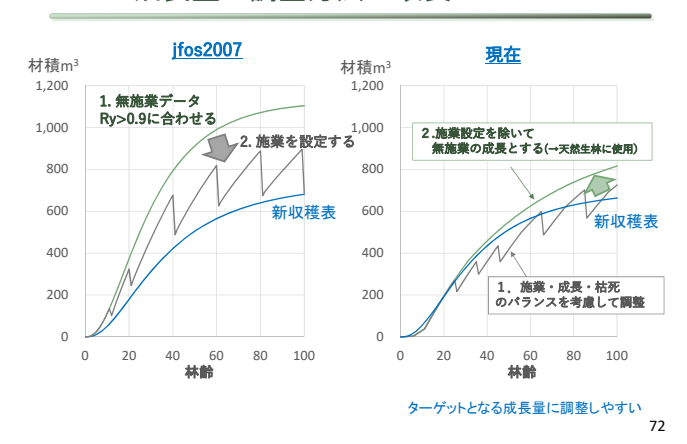
71

2. 人工林の材枯死率の見直しについて

インベントリデータとの比較

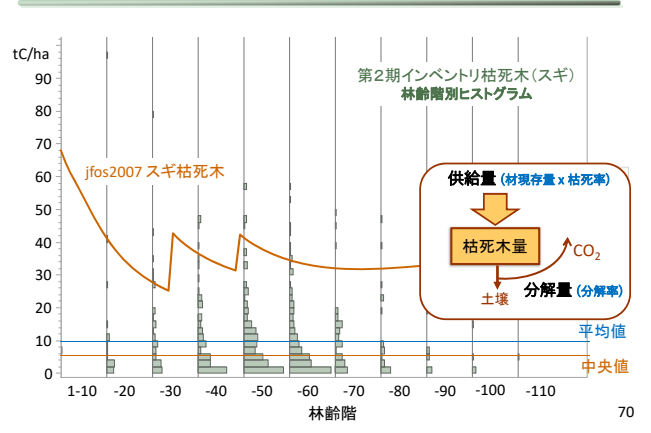


成長量の調整方法の改良について



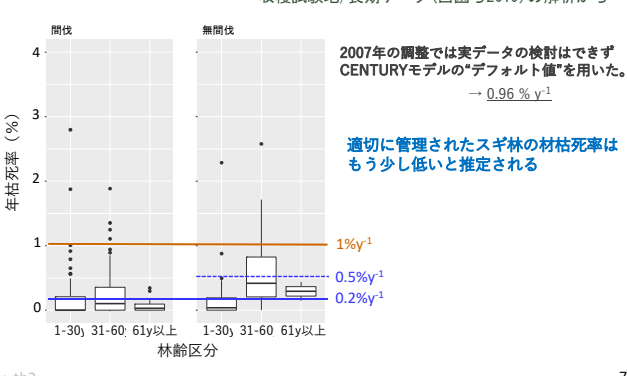
2. 人工林の材枯死率の見直しについて

インベントリデータとの比較



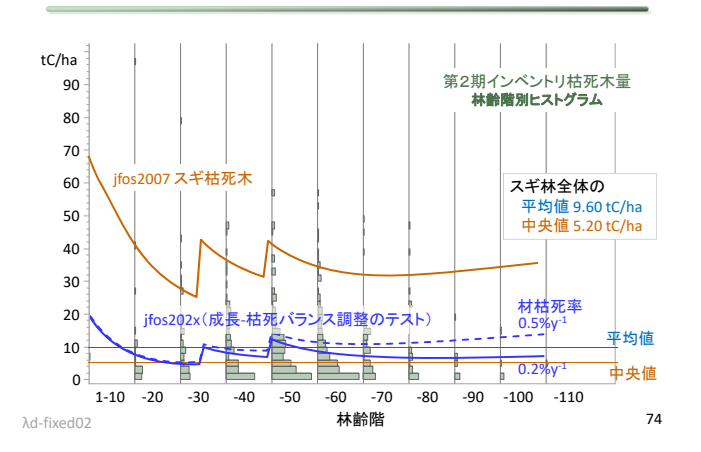
スギ人工林の材枯死率

収穫試験地/長期データ(西園ら2019)の解析から



73

ifosの枯死木量を変更してテスト



FFPRI

林野庁森林吸収源インベントリ情報整備事業 2022-02-16 令和3年度検討会

4) その他検討項目

77

人工林の材枯死率の見直しについて

まとめ

スギ人工林については

- ・インベントリデータにより モデルによる枯死木予測の課題が明らかにできた。 → インベントリデータの活用
- 長期観測データの存在により 材枯死率の実態が把握することができた。
 → 枯死木発生量のモデル予測がより適切に

■(1) 火山灰影響の検討

我が国において土壌炭素蓄積の地理空間分布の 決定への寄与が大きいと考えられる土壌母材へ の火山灰混入の実態把握について検討する。

75 78

(参考) これまでに検討してきたjfosの改定項目

- 1. 土壌インベントリ事業の進展とデータ活用 枯死木データの活用によるモデル推定精度の向上
- 2. 国家森林資源データベースの完成を反映
 - jfos2007では北海道の国有林情報が一部未完のものを使用
 - 完成した森林分布情報にもとづく気象データの再計算が必要
- 3. 気象データの更新
 - 現在、気候メッシュ平年値2010が利用可能
- 4. NIR報告のガイドライン変更に対応
 - 樹木の炭素含有率 0.50 → 針葉樹0.51、広葉樹0.48に変更

土壌母材への火山灰の混入は、 土壌炭素蓄積の有力な要因である

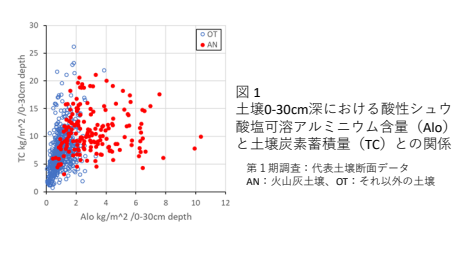


表1 土壌炭素蓄積量推定モデル*における適用する説明変数の違い

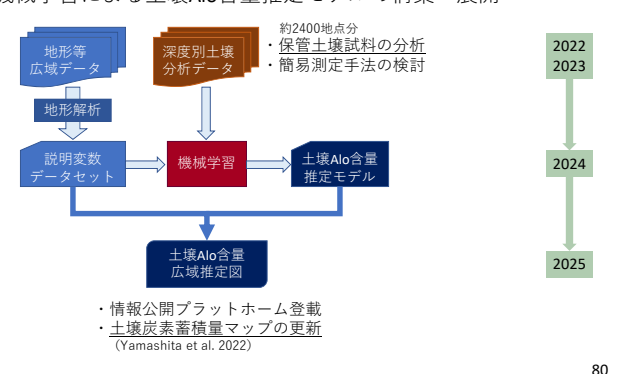
モデルの因子	学習				検証			
	rmse	r ²		p	rmse	r ²)
基本(地形+気候)	3.	52	0.184	< 0.0001	4.	52	0.062	0.0042
基本+火山との距離	3.	30	0.286	< 0.0001	4.	41	0.108	0.0001
基本+Alo	3.	17	0.349	< 0.0001	2.	96	0.295	< 0.0001

「火山との距離」を 説明変数とするより も土壌炭素蓄積量の 推定精度向上が期待

79

実施内容

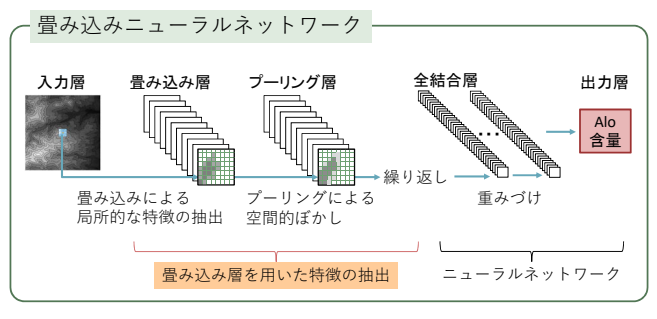
機械学習による土壌Alo含量推定モデルの構築・展開



■(2) 情報公開プラットフォームについて

83

機械学習



本事業では、畳み込み層: $1\sim2$ 層、全結合層: $1\sim3$ 層のモデルを検討

日本の森林土壌データベース (旧森林土壌博物館)



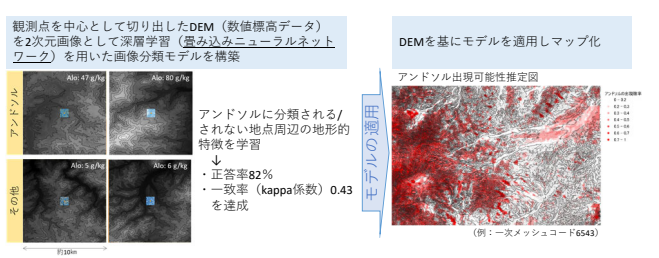
81

機械学習による広域推定(試行例)

火山灰の影響が強くAloを多量に含有する土壌

→ 林野土壌の分類では区分されていないが、 世界土壌照合基準にはアンドソルとして位置付けられている。

アンドソル (火山灰土壌) の分布を推定するモデルを機械学習により構築。



国有林野部経営企画課を通して、全森林管理局から 林野土壌図(国有林)のWeb公開の許可を取得

土壌断面情報が含まれる(実演)

可能であれば、この断面情報にインベントリ調査の 地点を追加

但し、緯度経度情報はわざと丸め、そのことを注 記する (所有者特定を避けるため)

公開作業は、許可が得られればかなり簡単(経費は 発生)

85

84

82